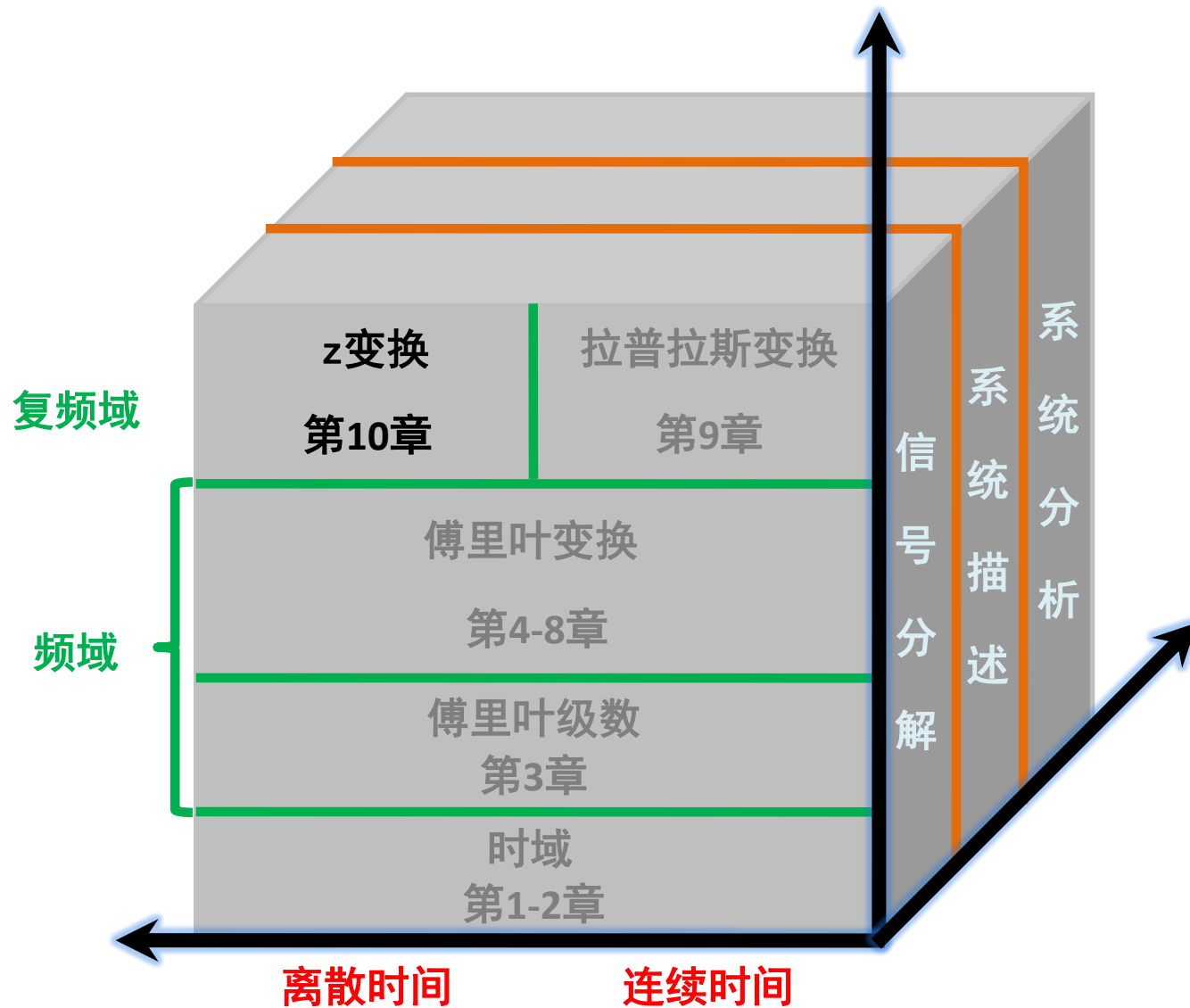

第10章 z 变换

The z -Transform



信号与系统 知识体系三维结构

引言

- 拉普拉斯变换的提出突破了连续时间傅里叶变换的应用局限
- 离散时间傅里叶变换存在与连续时间傅里叶变换类似的局限，是否有一种与拉普拉斯变换类似的解决方案？
 - z 变换与拉普拉斯变换相对应，是离散时间傅里叶变换的推广。
 - z 变换的基本思想、性质及分析方法与拉普拉斯变换有许多相似之处，也存在一些重要差异。

10.0 引言

离散时间傅里叶变换 (DTFT或DFT)

DFT对

$$X(e^{j\omega}) = \sum_{-\infty}^{\infty} x[n]e^{-j\omega n}$$

→ 分析公式

$$x[n] = \frac{1}{2\pi} \int_{2\pi} X(e^{j\omega})e^{j\omega n} d\omega$$

→ 综合公式

10.1 双边Z变换

10.1 双边Z变换

一. 双边Z变换的定义:

$$X(z) = \sum_{n=-\infty}^{\infty} x[n]z^{-n}$$

其中 $z = re^{j\omega}$ 是一个复数。

当 $r = 1$ 时, $z = e^{j\omega}$ 即为离散时间傅里叶变换 (DTFT, Discrete-Time Fourier Transform)。

即: **DTFT** 就是单位圆上的 **z** 变换。

10.1 双边Z变换

反之， $x[n]$ 的z变换就等价于 $x[n]r^{-n}$ 的DTFT：

$$X(re^{j\omega}) = \sum_{n=-\infty}^{\infty} x[n]r^{-n}e^{-j\omega n} = \mathcal{F}[x[n]r^{-n}]$$

因此，z变换是对DTFT的推广。

10.1 双边Z变换

二. z变换的收敛域 (ROC) :

z变换与DTFT一样存在着收敛的问题。

1. 并非任何信号的z变换都存在。
2. 并非z平面上的任何复数都能使 $X(z)$ 收敛。z平面上那些能使 $X(z)$ 收敛的点的集合，就构成了 $X(z)$ 的收敛域 (ROC) 。
3. 如果 $X(z)$ 的ROC包括单位圆，那么

$$X(e^{j\omega}) = X(z) \Big|_{z=e^{j\omega}}$$

10.1 双边Z变换

例1. $x[n] = a^n u[n]$

例2. $x[n] = -a^n u[-n - 1]$

例3. $x[n] = u[n]$

例4. $x[n] = \left(\frac{1}{2}\right)^n u[n] - 2^n u[-n - 1]$

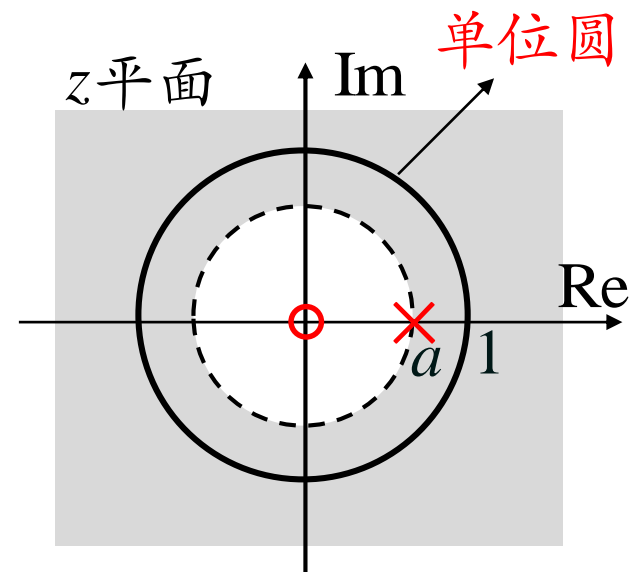
10.1 双边Z变换

例1. $x[n] = a^n u[n]$

$$X(z) = \sum_{n=0}^{\infty} a^n z^{-n} = \frac{1}{1 - az^{-1}} \quad \text{ROC: } |z| > |a|$$

当 $|a| < 1$ 时，ROC 包括了单位圆。此时， $x[n]$ 的DTFT存在：

$$X(e^{j\omega}) = X(z)|_{z=e^{j\omega}} = \frac{1}{1 - ae^{-j\omega}}$$

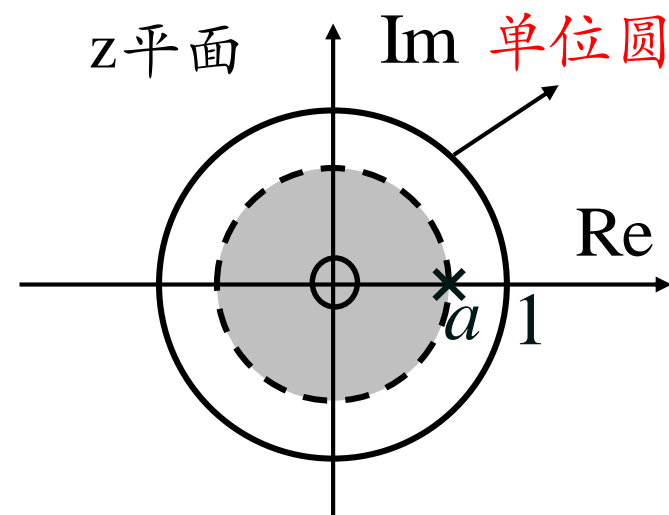


10.1 双边Z变换

例2. $x[n] = -a^n u[-n - 1]$

$$\begin{aligned} X(z) &= -\sum_{n=-\infty}^{-1} a^n z^{-n} = -\sum_{n=1}^{\infty} a^{-n} z^n \\ &= -\frac{a^{-1}z}{1 - a^{-1}z} = \frac{1}{1 - az^{-1}} \quad \text{ROC: } |z| < |a| \end{aligned}$$

双边Z变换的表达式与其 ROC联合才具有与信号的一一对应关系。

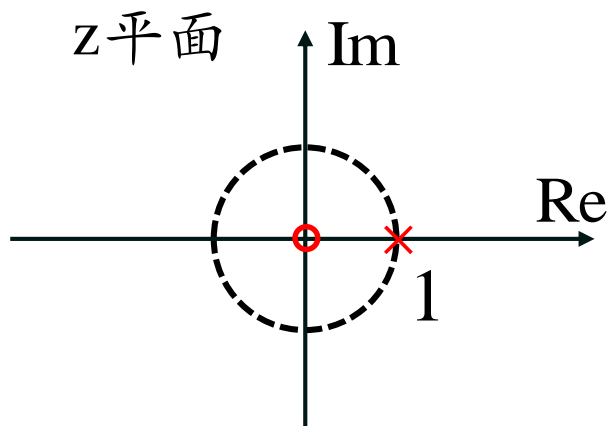


10.1 双边Z变换

例3. $x[n] = u[n]$

$$X(z) = \sum_{n=0}^{\infty} z^{-n} = \frac{1}{1 - z^{-1}} \quad |z| > 1$$

此时，ROC不包括单位圆，所以不能简单地从 $X(z)$ 通过令 $z = e^{j\omega}$ 得到 $X(e^{j\omega})$ 。



$$X(e^{j\omega}) = \frac{1}{1 - e^{-j\omega}} + \pi \sum_{k=-\infty}^{\infty} \delta(\omega - 2\pi k)$$

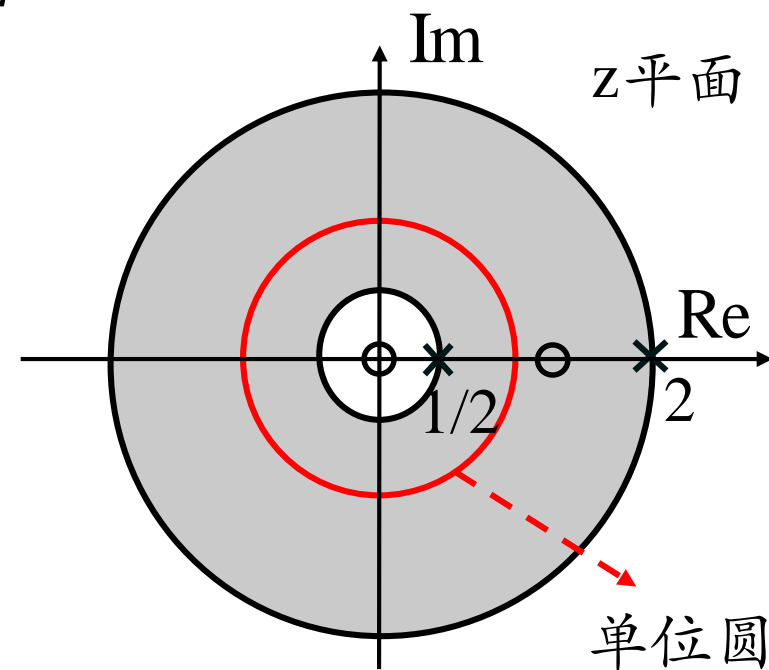
10.1 双边Z变换

例4. $x[n] = \left(\frac{1}{2}\right)^n u[n] - 2^n u[-n - 1]$

$$X(z) = \sum_{n=0}^{\infty} \left(\frac{1}{2}\right)^n z^{-n} - \sum_{n=-\infty}^{-1} 2^n z^{-n}$$

$$= \frac{1}{1 - \frac{1}{2}z^{-1}} + \frac{1}{1 - 2z^{-1}}$$

$$\text{ROC: } \frac{1}{2} < |z| < 2$$



10.1 双边Z变换

结 论:

- 1) z 变换的ROC一般是 z 平面上以原点为中心的环形区域。
- 2) 当 $X(z)$ 是有理函数时, 其ROC的边界总是由 $X(z)$ 的极点所在的圆周界定的。
- 3) 如果 $x[n] = \sum_i x_i[n]$, 则其ROC是各个 $x_i[n]$ 的ROC的公共部分。若没有公共区域则表明 $x[n]$ 的 z 变换不存在。

10.1 双边Z变换

三. $X(z)$ 的几何表示——零极点图:

如果 $X(z)$ 是有理函数, 将其分子多项式与分母多项式分别因式分解可以得到:

$$X(z) = \frac{N(z)}{D(z)} = M \frac{\prod_i (z - z_i)}{\prod_p (z - z_p)}$$

在 z 平面上标出 $X(z)$ 的全部零、极点, 即为 **零极点图**, 它是 $X(z)$ 的几何表示。

如果在零极点图上标出 ROC, 则该零极点图可以唯一地确定一个有理函数形式的 Z 变换 (除常数因子 M 外)。

零极点图对分析与刻画 LTI 系统有重要作用。

10.2 z变换的ROC

10.2 z变换的ROC

ROC的特征:

1. $X(z)$ 的ROC是 z 平面上以原点为中心的环形区域。
2. 在ROC内, $X(z)$ 无极点。
3. 有限长序列的ROC是整个 z 平面 (可能不包括 $z = 0$ 和/或 $|z| = \infty$) 。

10.2 z变换的ROC

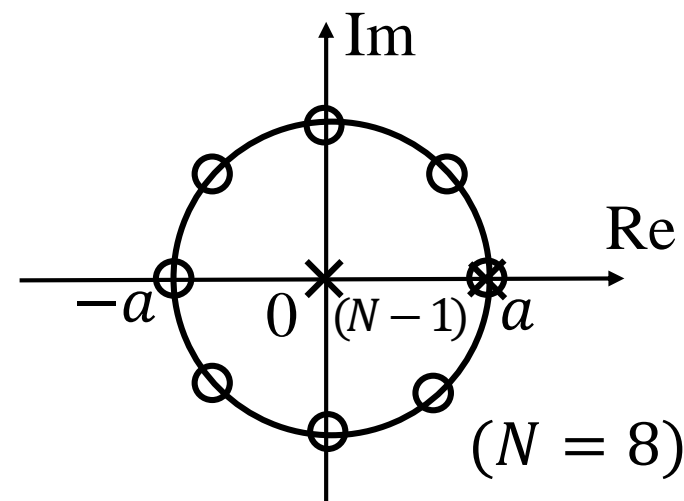
例2. $x[n] = \begin{cases} a^n, & 0 \leq n \leq N-1, \\ 0, & \text{其他}n, \end{cases}, \quad a > 0$

$$X(z) = \sum_{n=0}^{N-1} a^n z^{-n} = \frac{1 - a^N z^{-N}}{1 - a z^{-1}} = \frac{z^N - a^N}{z^{N-1}(z - a)}$$

极点: $z = a$ (一阶) $z = 0$ ($N-1$ 阶)

零点: $z = a e^{j\frac{2\pi}{N}k}$ ($k = 0, 1 \cdots N-1$)

在 $z = a$ 处, 零极点抵消, ROC: $|z| > 0$ 。



10.2 z变换的ROC

4. 右边序列的ROC是某个圆的外部，但可能不包括 $|z| = \infty$ 。

分析：设 $x[n]$ 是右边序列，定义于 $[N_1, \infty)$ ，则有：

$$X(z) = \sum_{n=N_1}^{\infty} x[n]z^{-n}$$

若 $|z| = r_0 \in \text{ROC}$ ，则有

$$\sum_{n=N_1}^{\infty} |x[n]r_0^{-n}| < \infty$$

10.2 z变换的ROC

对任意 $r_1 > r_0$ ，有：

$$\begin{aligned}\sum_{n=N_1}^{\infty} |x[n]r_1^{-n}| &= \sum_{n=N_1}^{\infty} |x[n]r_0^{-n}| \cdot \left(\frac{r_0}{r_1}\right)^n \\ &\leq \sum_{n=N_1}^{\infty} |x[n]r_0^{-n}| \cdot \left(\frac{r_0}{r_1}\right)^{N_1} < \infty\end{aligned}$$

$$\therefore |z| = r_1 \in \text{ROC}$$

若 $X(z)$ 为有理函数，则ROC必位于最外极点之外。

当 $N_1 < 0$ 时， $|z| = \infty$ 不在ROC内。

当且仅当 $|z| = \infty$ 在ROC内时， $x[n]$ 为因果序列。

10.2 z变换的ROC

5. 左边序列的ROC是某个圆的内部，但可能不包括 $z = 0$ 。

分析：若 $r_0 \in \text{ROC}$ ， $r_1 < r_0$ ，则有

$$\begin{aligned}\sum_{n=-\infty}^{N_1} |x[n]r_1^{-n}| &= \sum_{n=-\infty}^{N_1} |x[n]r_0^{-n}| \cdot \left(\frac{r_0}{r_1}\right)^n \\ &\leq \sum_{n=-\infty}^{N_1} |x[n]r_0^{-n}| \cdot \left(\frac{r_0}{r_1}\right)^{N_1} < \infty\end{aligned}$$

$$\therefore r_1 \in \text{ROC}$$

若 $X(z)$ 为有理函数，则ROC必位于最内极点之内。

设 $x[n]$ 定义于 $(-\infty, N_1]$ ，当 $N_1 > 0$ 时， $z = 0$ 不在ROC内。

当且仅当 $z = 0$ 在ROC内时， $x[n]$ 为反因果序列。

10.2 z变换的ROC

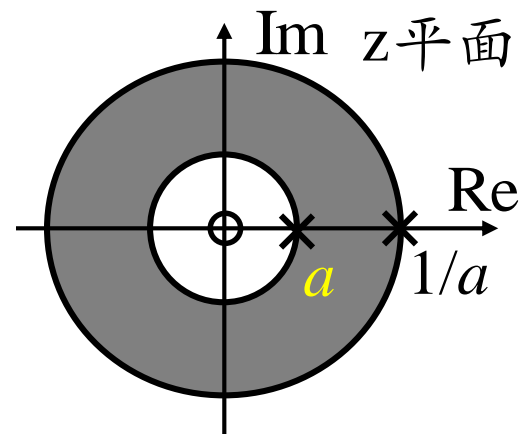
6. 双边序列的z变换如果存在，则ROC必是一个环形区域。

例1. $x[n] = a^{|n|}$, $a > 0$

$$x[n] = a^n u[n] + a^{-n} u[-n - 1]$$

$$a^n u[n] \leftrightarrow \frac{1}{1 - az^{-1}}, \quad |z| > a$$

$$a^{-n} u[-n - 1] \leftrightarrow -\frac{1}{1 - a^{-1}z^{-1}}, \quad |z| < a^{-1}$$



$a > 1$ 时，两部分的收敛域无交集，此时 $X(z)$ 不存在。

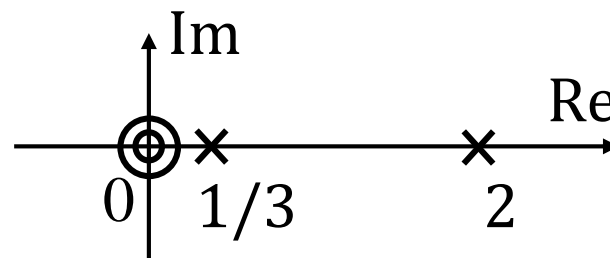
$0 < a < 1$ 时， $X(z)$ 为两部分变换之和，ROC为 $a < |z| < 1/a$ 。

10.2 z变换的ROC

例3. $X(z) = \frac{1}{(1 - \frac{1}{3}z^{-1})(1 - 2z^{-1})}$

极点: $z_1 = \frac{1}{3}, \quad z_2 = 2$

零点: $z = 0$ (二阶)



根据ROC, $x[n]$ 分为三种情况:

- (1) $|z| > 2$: $x[n]$ 为右边序列, 且是因果的, 但其傅里叶变换不存在;
- (2) $|z| < \frac{1}{3}$: $x[n]$ 是左边序列, 且是反因果的, 其傅里叶变换不存在;
- (3) $\frac{1}{3} < |z| < 2$: $x[n]$ 是双边序列, 其傅里叶变换存在。

10.3 z反变换

10.3 z反变换

一. z反变换:

$$\because X(re^{j\omega}) = \sum_{n=-\infty}^{\infty} x[n]r^{-n}e^{-j\omega n} \quad (z = re^{j\omega})$$

$$\therefore x[n]r^{-n} = \frac{1}{2\pi} \int_{2\pi} X(re^{j\omega})e^{j\omega n} d\omega$$

$$x[n] = \frac{1}{2\pi} \int_{2\pi} X(re^{j\omega})r^n e^{j\omega n} d\omega = \frac{1}{2\pi} \int_{2\pi} X(z)z^n d\omega$$

而 $dz = jre^{j\omega} d\omega = jz d\omega$, 因此

$$x[n] = \frac{1}{2\pi j} \oint X(z)z^{n-1} dz$$

当 ω 从 $0 \rightarrow 2\pi$ 时, z 沿着 ROC 内半径为 r 的圆积分一周。

10.3 z反变换

二. 反变换的求取:

1. 部分分式展开法:

$X(z)$ 为有理函数时, 可将其展开为部分分式:

$$X(z) = \sum_i \frac{A_i}{1 - a_i z^{-1}}$$

步骤:

1. 求出 $X(z)$ 的所有极点 a_i ;
2. 将 $X(z)$ 展开为部分分式;
3. 根据总的 ROC, 确定每一项的 ROC;
4. 求出每一项的反变换。

10.3 z反变换

例： $X(z) = \frac{3 - \frac{5}{6}z^{-1}}{(1 - \frac{1}{4}z^{-1})(1 - \frac{1}{3}z^{-1})}, \quad \frac{1}{4} < |z| < \frac{1}{3}$

将 $X(z)$ 展开为部分分式有：

$$X(z) = \underbrace{\frac{1}{1 - \frac{1}{4}z^{-1}}}_{\text{ROC}_1} + \underbrace{\frac{2}{1 - \frac{1}{3}z^{-1}}}_{\text{ROC}_2}$$

$\text{ROC}_1: |z| > 1/4$
 $\text{ROC}_2: |z| < 1/3$

$$\therefore x[n] = \left(\frac{1}{4}\right)^n u[n] - 2\left(\frac{1}{3}\right)^n u[-n - 1]$$

10.3 z反变换

2. 幂级数展开法:

由 $X(z)$ 的定义, 将其展开为幂级数, 有

$$X(z) = \cdots + x[-n]z^n + \cdots + x[-1]z + x[0] + \\ x[1]z^{-1} + x[2]z^{-2} + \cdots + x[n]z^{-n} + \cdots$$

展开式中 z^{-n} 项的系数即为 $x[n]$ 。

- 泰勒级数展开法适合用来求解非有理函数形式 $X(z)$ 的反变换。
- $X(z)$ 为有理函数时, 可采用长除法, 但可能不易获得闭式表达。

10.3 z反变换

- 当 $X(z)$ 是有理函数时，可以通过长除的方法将其展开为幂级数。
 - 由于右边序列的展开式中应包含无限个 z 的负幂项，所以要按降幂长除。
 - 左边序列的展开式中应包含无限个 z 的正幂项，要按升幂长除。
 - 对双边序列，先要将其分成对应信号的右边和左边的两部分，再分别按上述原则长除。

10.3 z反变换

例：

$$X(z) = \frac{3 - \frac{5}{6}z^{-1}}{(1 - \frac{1}{4}z^{-1})(1 - \frac{1}{3}z^{-1})}$$

$$\frac{1}{4} < |z| < \frac{1}{3}$$

$$X(z) = \frac{1}{1 - \frac{1}{4}z^{-1}} + \frac{2}{1 - \frac{1}{3}z^{-1}}$$

$$\text{ROC}_1: |z| > 1/4$$

$$\text{ROC}_2: |z| < 1/3$$

$$\text{ROC}_1 \quad \text{ROC}_2$$

所以前一项按降幂长除，后一项按升幂长除。

10.4 由零极点图对离散时间傅里叶变换几何求值

10.4 由零极点图对离散时间傅里叶变换几何求值

- 可以利用零极点图对单位圆上的 z 变换——即离散时间傅里叶变换进行几何求值。
- 其方法与拉普拉斯变换时完全类似：
 - 考查动点在单位圆上移动一周时，各极点矢量和零点矢量的长度与幅角变化的情况，即可反映频率特性。

10.4 由零极点图对离散时间傅里叶变换几何求值

例. 一阶因果离散时间LTI系统

$$y[n] - ay[n-1] = x[n]$$

可求得:

$$h[n] = a^n u[n]$$

$$H(z) = \frac{1}{1 - az^{-1}} = \frac{z}{z - a}, \quad |z| > |a|$$

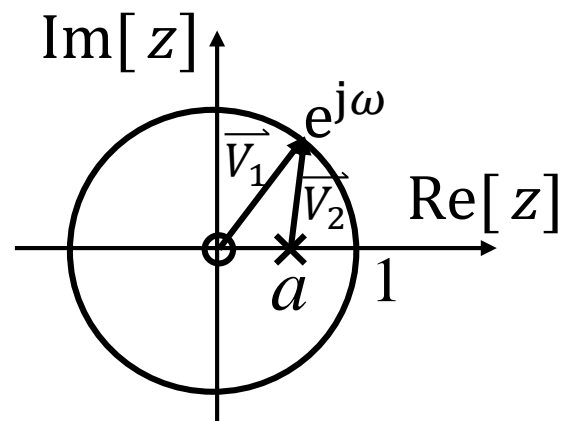
当 $|a| < 1$ 时, ROC包括单位圆。此时:

$$H(e^{j\omega}) = \frac{1}{1 - ae^{-j\omega}}$$

极点在单位圆内是实际应用中常见而感兴趣的系统函数的特点, 为什么?



10.4 由零极点图对离散时间傅里叶变换几何求值



$$|H(e^{j\omega})| = |\vec{V}_1|/|\vec{V}_2|$$

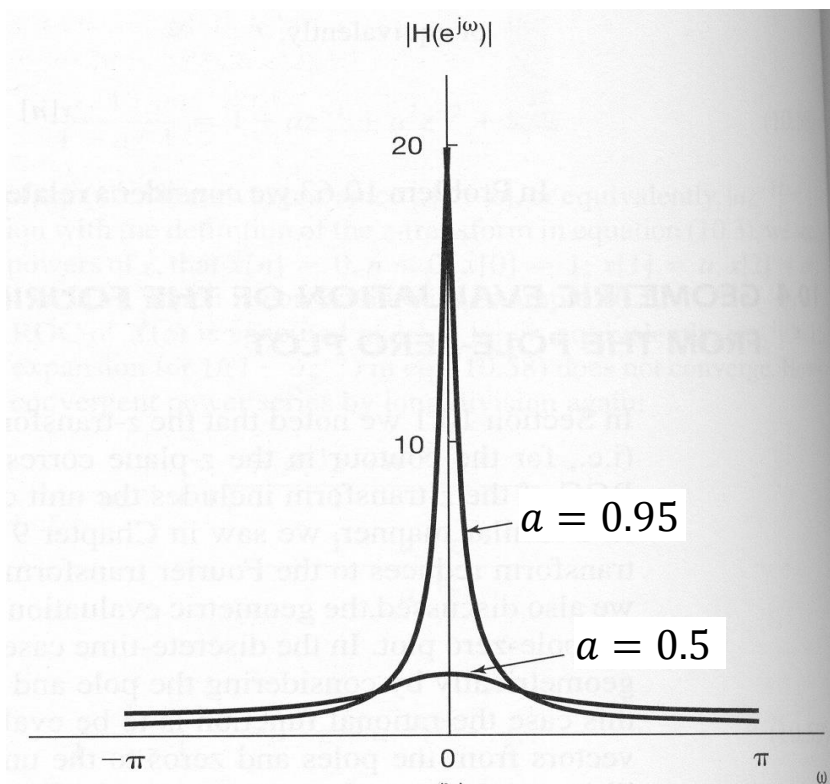
显然， $|\vec{V}_1| = 1$ ， $|H(e^{j\omega})|$ 取决于 $|\vec{V}_2|$ 的变化。

当 $0 < a < 1$ 时， $|H(e^{j\omega})|$ 随 $|\omega|$ 呈单调变化：

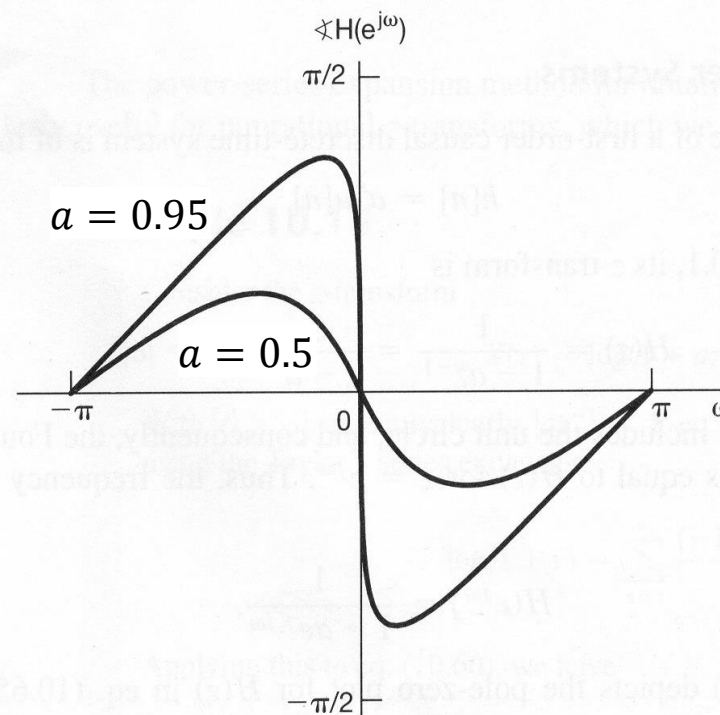
在 $|\omega| = 0$ 处， $|H(e^{j\omega})|$ 有最大值。

当 $|\omega| = \pi$ 时， $|H(e^{j\omega})|$ 有最小值。

10.4 由零极点图对离散时间傅里叶变换几何求值



幅频特性

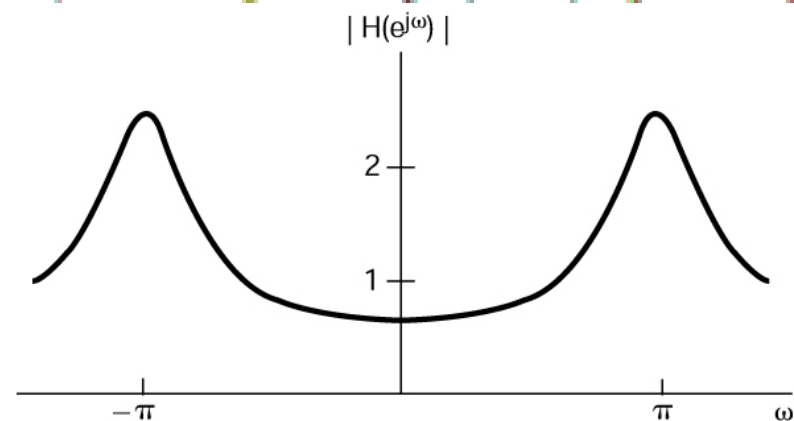
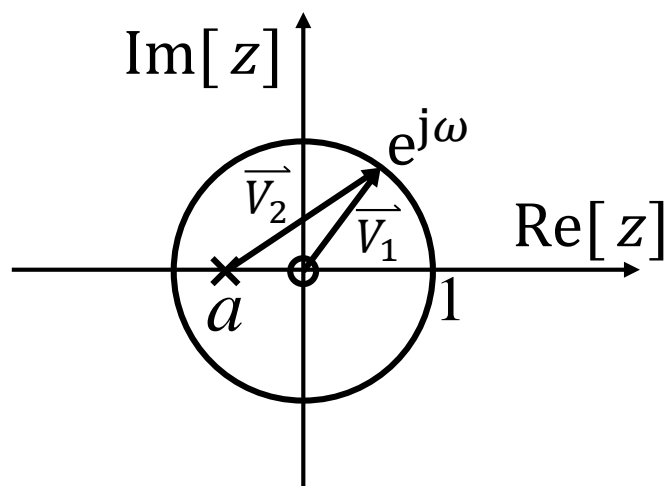


相频特性

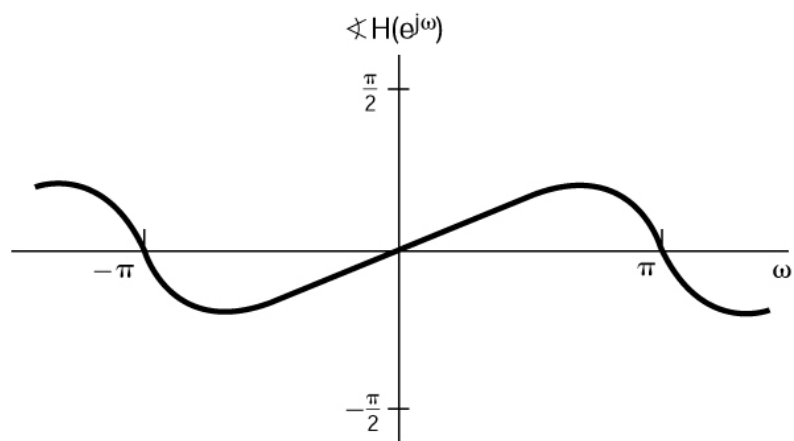
一阶系统的频率特性： $0 < a < 1$

10.4 由零极点图对离散时间傅里叶变换几何求值

当 $-1 < a < 0$ 时,



幅频特性



相频特性

10.5 z 变换的性质

10.5 z变换的性质

- 与s变换类似，在讨论z变换的许多性质时我们都要考虑其ROC的变化。

1. 线性：

$$x_1[n] \leftrightarrow X_1(z) \quad \text{ROC: } R_1$$

$$x_2[n] \leftrightarrow X_2(z) \quad \text{ROC: } R_2$$

$$\text{则 } ax_1[n] + bx_2[n] \leftrightarrow aX_1(z) + bX_2(z)$$

$$\text{ROC: 包括 } R_1 \cap R_2$$

如果在线性组合过程中出现零极点相抵消，则ROC可能会扩大。

10.5 z变换的性质

2. 时移:

若 $x[n] \leftrightarrow X(z)$ ROC: R

则 $x[n - n_0] \leftrightarrow X(z)z^{-n_0}$

ROC: R , 但在 $z = 0$ 和 $|z| = \infty$ 可能会有增删。

这是由于信号时移可能会改变其因果性。

10.5 z变换的性质

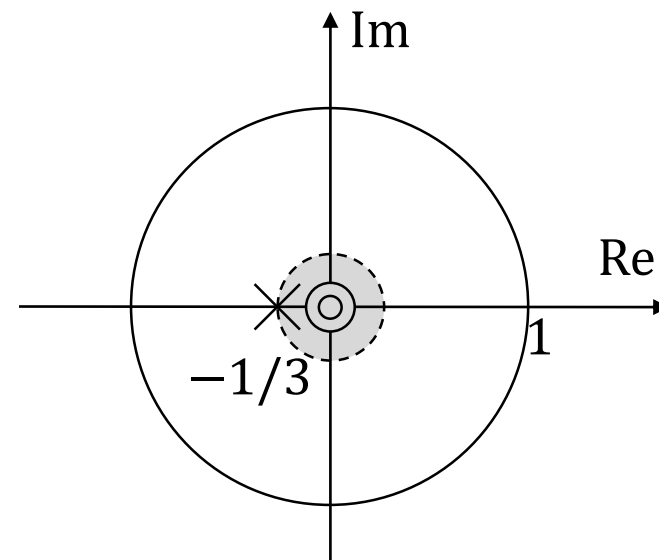
练习：设 $x[n] = \left(-\frac{1}{3}\right)^n u[-n-2]$ ，求其z变换、零极点图、ROC，并指出该序列的傅里叶变换是否存在。（教材习题10.21(e)）

解：

$$\left(-\frac{1}{3}\right)^n u[-n-1] \leftrightarrow -\frac{1}{1 + \frac{1}{3}z^{-1}}$$
$$\left(-\frac{1}{3}\right)^n u[-n-2] = -3 \cdot \left(-\frac{1}{3}\right)^{n+1} u[-(n+1)-1]$$

$$\leftrightarrow -3z \cdot \left(-\frac{1}{1 + \frac{1}{3}z^{-1}}\right) = \frac{3}{z^{-1}(1 + \frac{1}{3}z^{-1})},$$

$$\text{ROC: } |z| < 1/3$$



ROC不包括单位圆，故傅里叶变换不存在。

10.5 z变换的性质

3. z域尺度变换:

$$\text{若 } x[n] \leftrightarrow X(z) \quad \text{ROC: } R$$

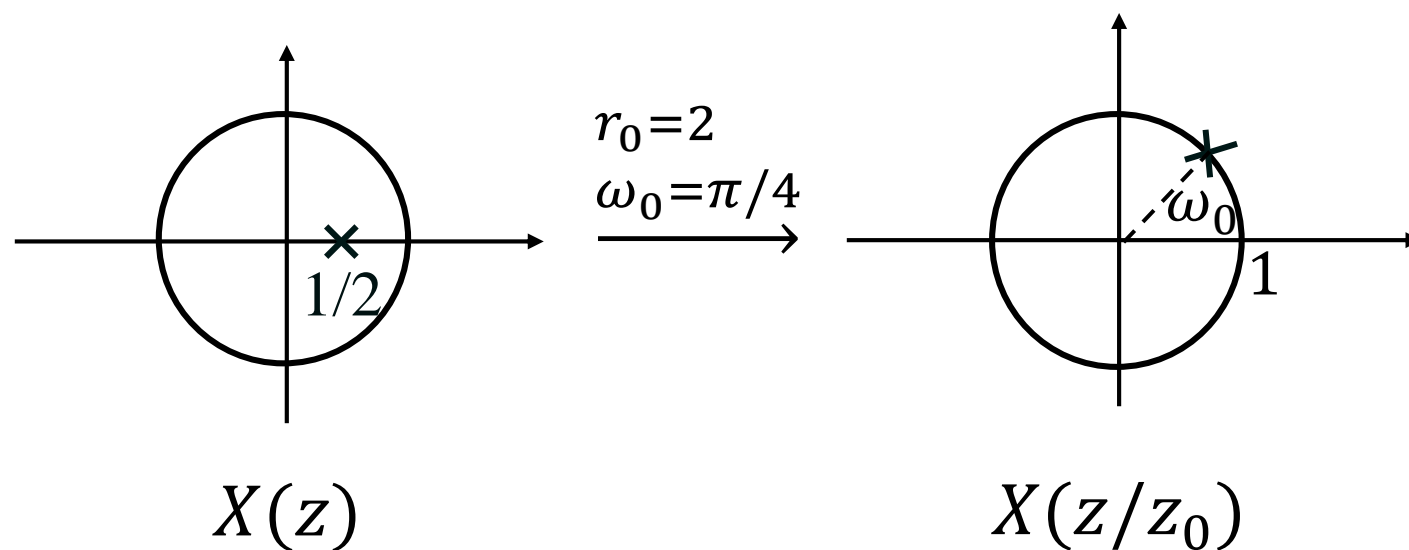
$$\text{则 } z_0^n x[n] \leftrightarrow X(z/z_0) \quad \text{ROC: } |z_0|R$$

$\because z \in R$ 时 $X(z)$ 收敛, $\therefore z/z_0 \in R$, 即 $z \in |z_0|R$ 时 $X(z/z_0)$ 收敛。

当 $z_0 = e^{j\omega_0}$ 时, 即为移频特性。

10.5 z变换的性质

对于复数 $z_0 = r_0 e^{j\omega_0}$ ， $X(z/z_0)$ 可以通过将 $X(z)$ 逆时针旋转 ω_0 ，并在径向施加 r_0 倍的尺度变化得到。



10.5 z变换的性质

4. 时域反转:

$$\text{若 } x[n] \leftrightarrow X(z) \quad \text{ROC: } R$$

$$\text{则 } x[-n] \leftrightarrow X(z^{-1}) \quad \text{ROC: } 1/R \text{ (收敛域边界倒置)}$$

例. 若 $X(z)$ 的 ROC 为 $\frac{1}{2} < |z| < \frac{3}{2}$, 则 $X(z^{-1})$ 的 ROC 为 $\frac{2}{3} < |z| < 2$ 。

如果 z_i 是 $X(z)$ 的零/极点, 则 $1/z_i$ 就是 $X(z^{-1})$ 的零/极点。

Example Suppose $a^k u[k] \leftrightarrow \frac{1}{1 - az^{-1}}, |z| > a$,

Determine the z -transform of $a^{-k} u[-k - 1]$.

According to the property of time reversal, we have:

$$a^{-k} u[-k] \leftrightarrow \frac{1}{1 - az}, |z| < \frac{1}{a}$$

Shift leftward by one $a^{-k-1} u[-k - 1] \leftrightarrow \frac{z}{1 - az}$

Consider the homogeneity property:

$$a^{-k} u[-k - 1] \leftrightarrow \frac{az}{1 - az}, |z| < \frac{1}{a}$$

10.5 z变换的性质

5. 时间扩展:

若 $x[n] \leftrightarrow X(z)$ ROC: R

$$x_k[n] = \begin{cases} x[n/k] & n \text{ 为 } k \text{ 的整数倍} \\ 0 & \text{其它 } n \end{cases}$$

则 $x_k[n] \leftrightarrow X(z^k)$ ROC: $R^{1/k}$

证明:

$$\begin{aligned} X_k(z) &= \sum_{n=-\infty}^{\infty} x_k[n] z^{-n} = \sum_{r=-\infty}^{\infty} x_k[rk] z^{-rk} \\ &= \sum_{r=-\infty}^{\infty} x[r] z^{-rk} = X(z^k) \end{aligned}$$

10.5 z变换的性质

6. 共轭对称性:

$$\text{若 } x[n] \leftrightarrow X(z) \quad \text{ROC: } R$$

$$\text{则 } x^*[n] \leftrightarrow X^*(z^*) \quad \text{ROC: } R$$

当 $x[n]$ 是实信号时, $x^*[n] = x[n]$, 于是有

$$X^*(z^*) = X(z)$$

表明实信号 $x[n]$ 的z变换 $X(z)$ 的复数零极点必共轭成对出现。

纯虚信号 $x[n]$ 的z变换的零极点呢?



10.5 z变换的性质

7. 卷积性质:

$$x_1[n] \leftrightarrow X_1(z) \quad \text{ROC: } R_1$$

$$x_2[n] \leftrightarrow X_2(z) \quad \text{ROC: } R_2$$

$$\text{则} \quad x_1[n] * x_2[n] \leftrightarrow X_1(z)X_2(z) \quad \text{ROC: 包括 } R_1 \cap R_2$$

如果相乘时零极点抵消则ROC可能会扩大。

证明:

$$\begin{aligned} x_1[n] * x_2[n] &\leftrightarrow \sum_{n=-\infty}^{\infty} \sum_{m=-\infty}^{\infty} x_1[m] x_2[n-m] z^{-n} \\ &= \sum_{m=-\infty}^{\infty} x_1[m] X_2(z) z^{-m} = X_1(z) X_2(z) \end{aligned}$$

Accumulation

If $f[k] \leftrightarrow F(z), \alpha < |z| < \beta$

Then $g[k] = \sum_{i=-\infty}^k f[i] \leftrightarrow \frac{1}{1-z^{-1}} F(z), \max(\alpha, 1) < |z| < \beta$

Proof

$$\because f[k] * u[k] = \sum_{i=-\infty}^{\infty} f[i]u[k-i] = \sum_{i=-\infty}^k f[i]$$

$$\text{and } Z\{u[k]\} = \frac{1}{1-z^{-1}}$$

$$\therefore Z\{g[k]\} = Z\left\{\sum_{i=-\infty}^k f[i]\right\} = Z\{f[k] * u[k]\}$$

$$= \frac{1}{1-z^{-1}} F(z), \max(\alpha, 1) < |z| < \beta$$

10.5 z变换的性质

8. z域微分:

$$\text{若 } x[n] \leftrightarrow X(z) \quad \text{ROC: } R$$

则

$$nx[n] \leftrightarrow -z \frac{dX(z)}{dz} \quad \text{ROC: } R$$

用该性质可以方便地求出具有高阶极点的有理函数 $X(z)$ 的反变换。

10.5 z变换的性质

例1. $X(z) = \ln(1 + az^{-1})$ $|z| > |a|$ 求反变换 $x[n]$ 。

例2. 已知 $X(z) = \frac{az^{-1}}{(1-az^{-1})^2}$, $|z| > |a|$, 求反变换 $x[n]$ 。

10.5 z变换的性质

例1. $X(z) = \ln(1 + az^{-1})$ $|z| > |a|$ 求反变换 $x[n]$ 。

$$\therefore \frac{dX(z)}{dz} = \frac{-az^{-2}}{1 + az^{-1}}$$

$$-z \frac{dX(z)}{dz} = \frac{az^{-1}}{1 + az^{-1}} \leftrightarrow a[-a]^{n-1}u[n-1] = nx[n]$$

$$\therefore x[n] = \frac{a}{n}(-a)^{n-1}u[n-1] = -\frac{1}{n}(-a)^n u[n-1]$$

10.5 z变换的性质

例2. 已知 $X(z) = \frac{az^{-1}}{(1-az^{-1})^2}$, $|z| > |a|$, 求反变换 $x[n]$ 。

解：

$$\because a^n u[n] \leftrightarrow \hat{X}(z) = \frac{1}{1 - az^{-1}} \quad |z| > |a|$$

$$\frac{d}{dz}(\hat{X}(z)) = -\frac{az^{-2}}{(1 - az^{-1})^2}$$

$$na^n u[n] \leftrightarrow -z \frac{d\hat{X}(z)}{dz} = \frac{az^{-1}}{(1 - az^{-1})^2} \quad (= X(z))$$

$$\therefore x[n] = na^n u[n]$$

10.5 z变换的性质

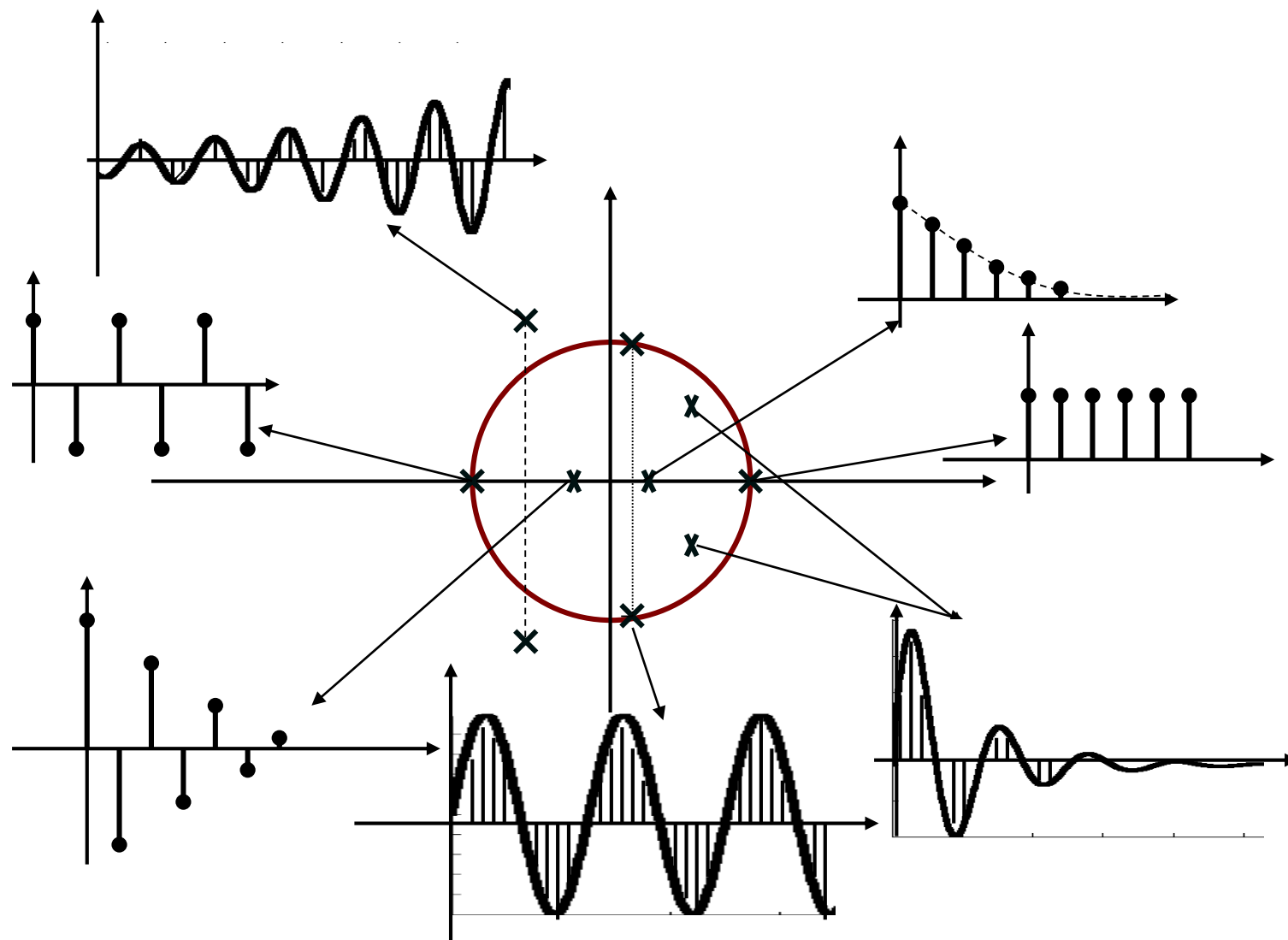
9. 初值定理:

若 $x[n]$ 是因果信号, 且 $x[n] \leftrightarrow X(z)$, 则 $x[0] = \lim_{z \rightarrow \infty} X(z)$ 。

10. 终值定理:

若 $x[n]$ 是因果信号, 且 $x[n] \leftrightarrow X(z)$, $X(z)$ 除了在 $z = 1$ 可以有一阶极点外, 其它极点均在单位圆内, 则

$$\lim_{n \rightarrow \infty} x[n] = \lim_{z \rightarrow 1} (z - 1)X(z)$$



z 平面上极点位置与信号模式的关系示意图

10.6 常用信号的Z变换对

教材P496，表10.2（自学）

10.7 利用 z 变换分析与表征LTI系统

10.7 利用z变换分析与表征LTI系统

一. 系统特性与 $H(z)$ 的关系:

设离散时间LTI系统的单位脉冲响应为 $h[n]$ ，则 $h[n]$ 的z变换 $H(z)$ 称为系统函数或转移函数，它描述了一个离散时间LTI系统并体现其系统特性。

1. 因果性：如果离散时间LTI系统是因果的，即 $n < 0$ 时有 $h[n] = 0$ ，则 $H(z)$ 的ROC是最外部极点的外部，并且包括 $|z| = \infty$ ；反之亦然。

设有理函数 $H(z)$ 是某离散时间因果LTI系统的系统函数，则 $H(z)$ 分子多项式的次数不能高于分母多项式的次数。

10.7 利用z变换分析与表征LTI系统

2. **稳定性**：若LTI系统稳定，即 $\sum_{n=-\infty}^{\infty} |h[n]| < \infty$ ，也即 $h[n]$ 的DTFT存在，则 $H(z)$ 的ROC必包括单位圆；反之亦然。

对于**因果稳定**的LTI系统，其系统函数 $H(z)$ 如果存在极点，则全部极点必须位于单位圆内。



10.7 利用z变换分析与表征LTI系统

二. 基于z变换的LTI系统分析:

分析步骤:

- 1) 由输入信号 $x[n]$ 求得 $X(z)$ 及其ROC: R_1 ;
- 2) 由系统的描述求得 $H(z)$ 及其ROC: R_2 ;
- 3) 计算 $Y(z) = X(z)H(z)$ 并确定其ROC, 该ROC应包括 $R_1 \cap R_2$;
- 4) 对 $Y(z)$ 做反变换得到 $y[n]$ 。

10.7 利用z变换分析与表征LTI系统

三. 由线性常系数差分方程描述的LTI系统的 $H(z)$:

考虑由下面的差分方程描述的LTI系统:

$$\sum_{k=0}^N a_k y[n-k] = \sum_{k=0}^M b_k x[n-k]$$

对方程两边做z变换可得:

$$\sum_{k=0}^N a_k z^{-k} Y(z) = \sum_{k=0}^M b_k z^{-k} X(z)$$

$$H(z) = \frac{Y(z)}{X(z)} = \frac{\sum_{k=0}^M b_k z^{-k}}{\sum_{k=0}^N a_k z^{-k}} \quad (\text{有理函数})$$

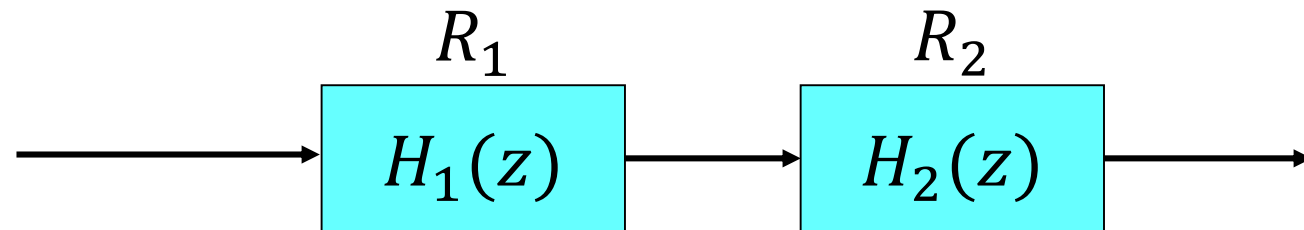
$H(z)$ 的ROC可通过其它条件, 如系统的因果性或稳定性等确定。

10.8 系统函数的代数属性与方框图表示

10.8 系统函数的代数属性与方框图表示

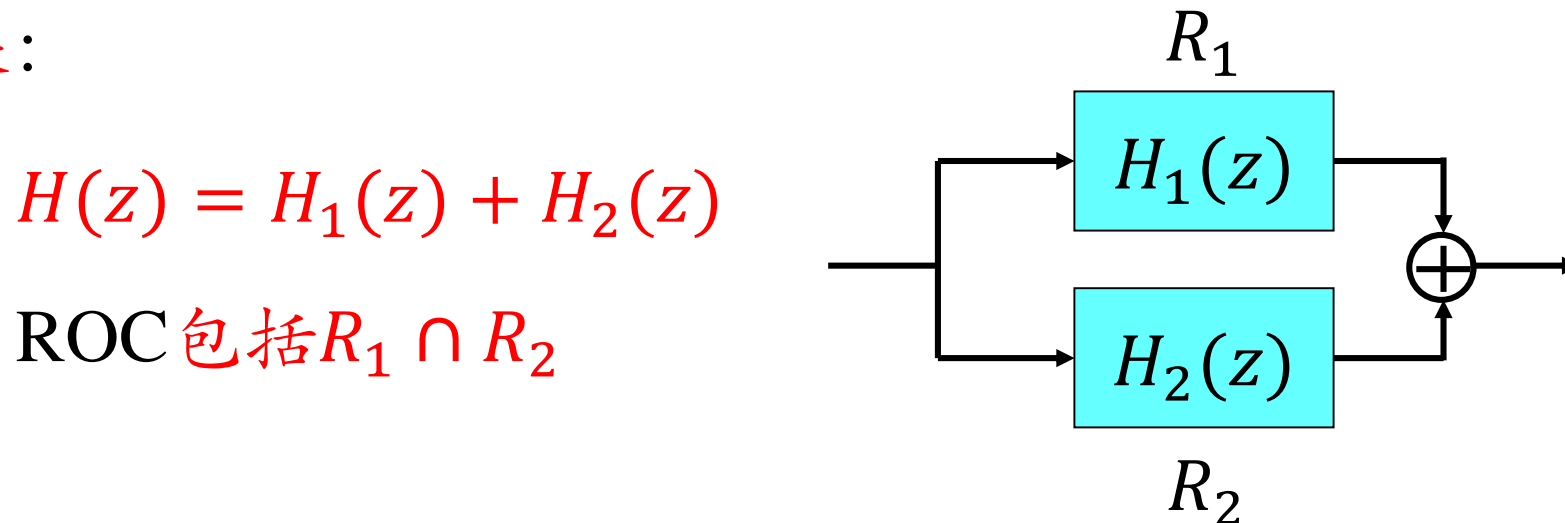
一. 互联系统的系统函数:

1. 级联:



$$H(z) = H_1(z)H_2(z) \quad \text{ROC 包括 } R_1 \cap R_2$$

2. 并联:



$$H(z) = H_1(z) + H_2(z)$$

$$\text{ROC 包括 } R_1 \cap R_2$$

10.8 系统函数的代数属性与方框图表示

3. 反馈联接：

由系统框图可列出如下方程：

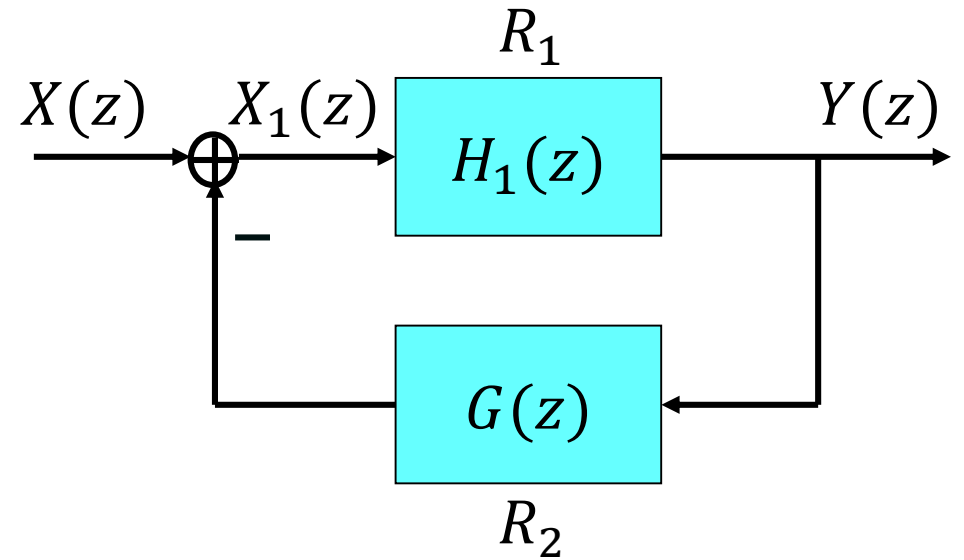
$$X_1(z) = X(z) - Y(z)G(z)$$

$$Y(z) = X_1(z)H_1(z)$$

$$= X(z)H_1(z) - Y(z)H_1(z)G(z)$$

$$H(z) = \frac{H_1(z)}{1 + H_1(z)G(z)}$$

ROC: 包括 $R_1 \cap R_2$



10.8 系统函数的代数属性与方框图表示

二. 由差分方程和有理系统函数描述的因果LTI系统的方框图表示:

1. 直接型表示:

求下列差分方程对应的系统函数 $H(z)$ 和单位脉冲响应 $h[n]$, 并画出对应的方框图。

例1. $y[n] = x[n] - 5x[n - 1] + 8x[n - 3]$

例2. $y[n] - 3y[n - 1] + 3y[n - 2] - y[n - 3] = x[n]$

10.8 系统函数的代数属性与方框图表示

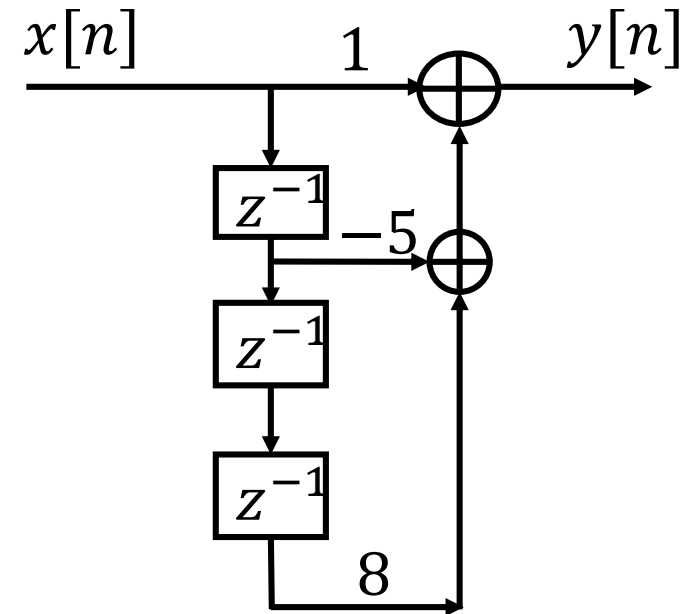
例1. $y[n] = x[n] - 5x[n-1] + 8x[n-3]$

解：由方程可得

$$Y(z) = (1 - 5z^{-1} + 8z^{-3})X(z)$$

$$H(z) = 1 - 5z^{-1} + 8z^{-3}$$

$$h[n] = \delta[n] - 5\delta[n-1] + 8\delta[n-3]$$



10.8 系统函数的代数属性与方框图表示

例2. $y[n] - 3y[n-1] + 3y[n-2] - y[n-3] = x[n]$

解：由方程可得

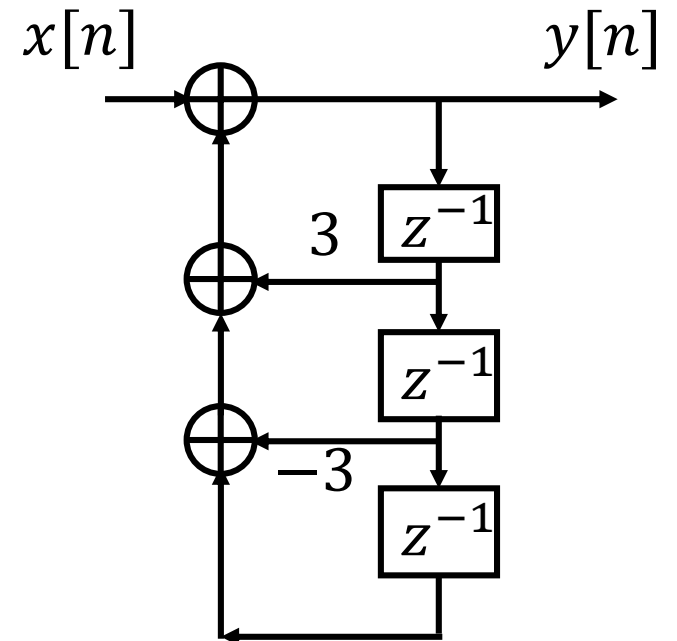
$$Y(z) = X(z) + 3z^{-1}Y(z) - 3z^{-2}Y(z) + z^{-3}Y(z)$$

$$(1 - 3z^{-1} + 3z^{-2} - z^{-3})Y(z) = X(z)$$

$$H(z) = \frac{1}{(1 - z^{-1})^3}$$

利用z域微分及时移性质可得

$$h[n] = \frac{1}{2}(n+1)(n+2)u[n]$$



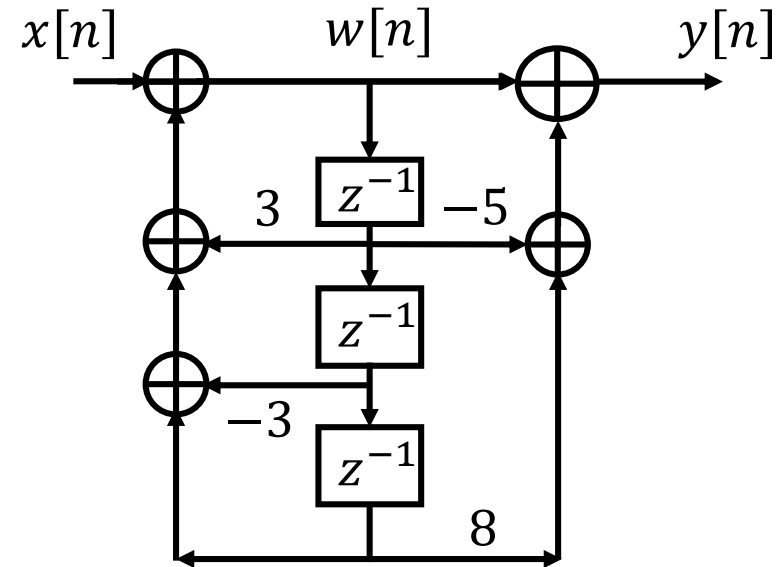
10.8 系统函数的代数属性与方框图表示

例3. $y[n] - 3y[n - 1] + 3y[n - 2] - y[n - 3] = x[n] - 5x[n - 1] + 8x[n - 3]$

$$H(z) = \frac{1}{(1 - z^{-1})^3} \cdot (1 - 5z^{-1} + 8z^{-3})$$

$$W(z) = \frac{1}{(1 - z^{-1})^3} \cdot X(z)$$

$$Y(z) = (1 - 5z^{-1} + 8z^{-3}) \cdot W(z)$$



10.8 系统函数的代数属性与方框图表示

2. 级联型表示:

将 $H(z)$ 因式分解, 在无重阶极点时可得

$$H(z) = \frac{\sum_{k=0}^M b_k z^{-k}}{\sum_{k=0}^N a_k z^{-k}} = \frac{b_0 \prod_{k=1}^M (1 + \mu_k z^{-1})}{a_0 \prod_{k=1}^N (1 + \eta_k z^{-1})}$$

$M = N$ 为偶数时

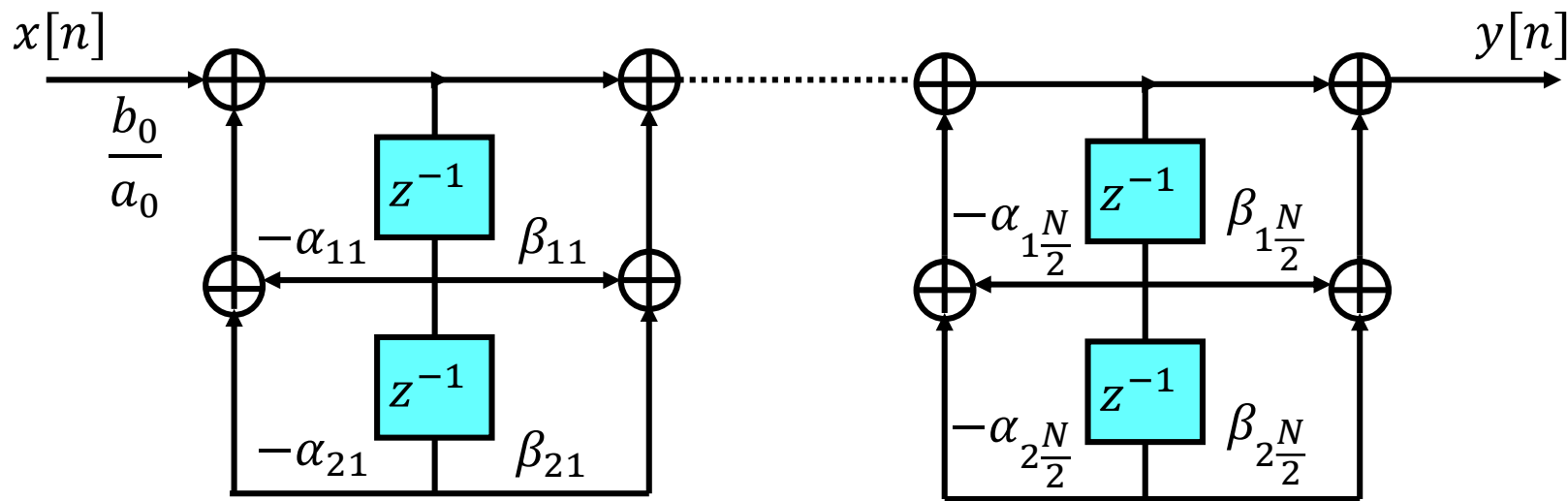
$$= \frac{b_0}{a_0} \prod_{k=1}^{N/2} \frac{1 + \beta_{1k} z^{-1} + \beta_{2k} z^{-2}}{1 + \alpha_{1k} z^{-1} + \alpha_{2k} z^{-2}} = \frac{b_0}{a_0} \prod_{k=1}^{N/2} H_k(z)$$

其中 $H_k(z)$ 是二阶子系统函数。

10.8 系统函数的代数属性与方框图表示

$$H(z) = \frac{b_0}{a_0} \prod_{k=1}^{N/2} \frac{1 + \beta_{1k}z^{-1} + \beta_{2k}z^{-2}}{1 + \alpha_{1k}z^{-1} + \alpha_{2k}z^{-2}}$$

由此即可得系统的级联型表示：



离散时间LTI系统的级联型表示

10.8 系统函数的代数属性与方框图表示

3. 并联型表示:

将 $H(z)$ 展开为部分分式, 在无重阶极点时有

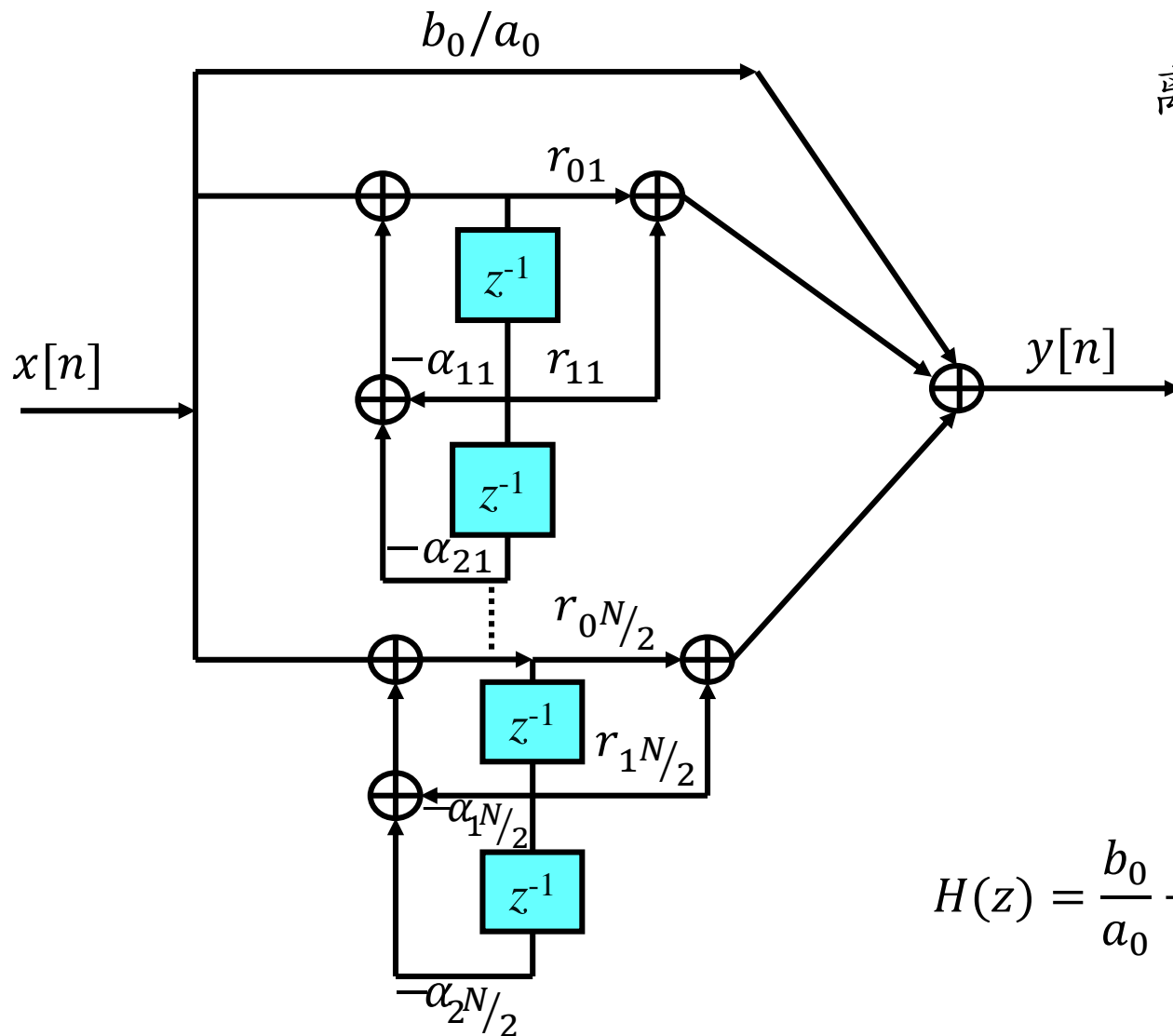
$$H(z) = \frac{b_0}{a_0} + \sum_{k=1}^N \frac{A_k}{1 + \eta_k z^{-1}}$$

N 为偶数时

$$= \frac{b_0}{a_0} + \sum_{k=1}^{N/2} \frac{r_{0k} + r_{1k} z^{-1}}{1 + \alpha_{1k} z^{-1} + \alpha_{2k} z^{-2}}$$

$$= \frac{b_0}{a_0} + \sum_{k=1}^{N/2} H'_k(z)$$

10.8 系统函数的代数属性与方框图表示



离散时间LTI系统
的并联型表示

$$H(z) = \frac{b_0}{a_0} + \sum_{k=1}^{N/2} \frac{r_{0k} + r_{1k}z^{-1}}{1 + \alpha_{1k}z^{-1} + \alpha_{2k}z^{-2}}$$

10.8 系统函数的代数属性与方框图表示

练习：一个因果LTI系统的输入 $x[n]$ 和输出 $y[n]$ 如图所示。

(a) 求 $y[n]$ 和 $x[n]$ 之间的差分方程。

(b) 该系统是稳定吗？

(教材习题10.37)

解：

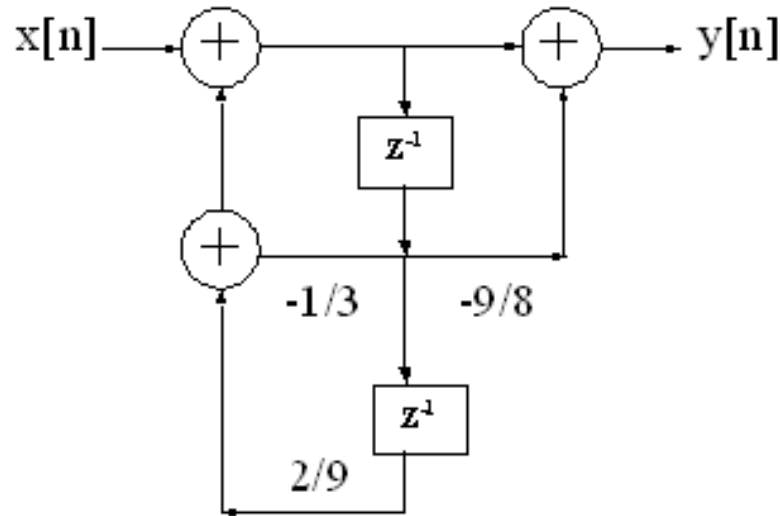
(a) 差分方程为：

$$y[n] + \frac{1}{3}y[n-1] - \frac{2}{9}y[n-2] = x[n] - \frac{9}{8}x[n-1]$$

(b) 系统函数

$$H(z) = \frac{Y(z)}{X(z)} = \frac{1 - \frac{9}{8}z^{-1}}{1 + \frac{1}{3}z^{-1} - \frac{2}{9}z^{-2}} = \frac{1 - \frac{9}{8}z^{-1}}{(1 + \frac{2}{3}z^{-1})(1 - \frac{1}{3}z^{-1})}$$

$H(z)$ 具有极点 $z_1 = \frac{1}{3}$ 与 $z_2 = -\frac{2}{3}$ 。由于系统是因果的，收敛域为 $|z| > \frac{2}{3}$ ，包含了单位圆，所以系统是稳定的。



10.9 单边Z变换

10.9 单边z变换

一. 单边z变换:

$$\chi(z) = \sum_{n=0}^{\infty} x[n]z^{-n}$$

$x[n]$ 的单边z变换是 $x[n]$ 中 $n \geq 0$ 这部分，即 $x[n]u[n]$ 的双边z变换。因此单边z变换的ROC一定是最外部极点的外部，且包括 $|z| = \infty$ 。

所以在讨论单边z变换时，不再强调其ROC。

如果 $x[n]$ 非因果，则其双边z变换 $X(z)$ 与单边z变换 $\chi(z)$ 不同。

10.9 单边Z变换

单边Z变换的反变换与双边Z变换的反变换形式一致，但是只能给出 $x[n]$ 在 $n \geq 0$ 这部分的价值。

$$x[n] = \frac{1}{2\pi j} \oint_c \chi(z) z^{n-1} dz \quad n \geq 0$$

10.9 单边Z变换

例1. $x[n] = a^n u[n]$

对其做双边Z变换有：

$$X(z) = \frac{1}{1 - az^{-1}} \quad |z| > |a|$$

对其做单边Z变换有：

$$\chi(z) = \frac{1}{1 - az^{-1}} \quad |z| > |a|$$

因 $x[n]$ 为因果信号， $\chi(z) = X(z)$

10.9 单边Z变换

例2. $x[n] = a^{n+1}u[n+1]$

对其做双边Z变换有：

$$X(z) = \frac{z}{1 - az^{-1}} \quad |z| > |a|$$

对其做单边Z变换有：

$$\chi(z) = \sum_{n=0}^{\infty} a^{n+1}z^{-n} = \frac{a}{1 - az^{-1}} \quad |z| > |a|$$

因 $x[n]$ 在 $n < 0$ 的部分对双边Z变换起作用，而对单边Z变换不起作用，故 $\chi(z) \neq X(z)$ 。

10.9 单边Z变换

二. 单边Z变换的性质:

单边Z变换的一些性质可以由因果信号的双边Z变换得到，主要的不同是时移特性。

时移特性:

若

$$x[n] \leftrightarrow \chi(z)$$

则

$$x[n-1] \leftrightarrow z^{-1}\chi(z) + x[-1]$$

$$x[n+1] \leftrightarrow z\chi(z) - zx[0]$$

10.9 单边Z变换

$$x[n-1] \leftrightarrow z^{-1}\chi(z) + x[-1]$$

证明:

$$\begin{aligned}\sum_{n=0}^{\infty} x[n-1]z^{-n} &= \sum_{m=-1}^{\infty} x[m]z^{-(m+1)} \\ &= x[-1] + z^{-1} \sum_{m=0}^{\infty} x[m]z^{-m} \\ &= z^{-1}\chi(z) + x[-1]\end{aligned}$$

同理可得:

$$x[n-2] \leftrightarrow z^{-2}\chi(z) + z^{-1}x[-1] + x[-2]$$

10.9 单边Z变换

$$x[n + 1] \leftrightarrow z\chi(z) - zx[0]$$

证明:

$$\begin{aligned}\sum_{n=0}^{\infty} x[n + 1]z^{-n} &= \sum_{m=1}^{\infty} x[m]z^{-(m-1)} \\ &= \sum_{m=0}^{\infty} x[m]z^{-(m-1)} - x[0]z = z\chi(z) - zx[0]\end{aligned}$$

同理可得:

$$x[n + 2] \leftrightarrow z^2\chi(z) - z^2x[0] - zx[1]$$

10.9 单边Z变换

三. 利用单边Z变换分析增量线性系统:

单边Z变换在将线性常系数差分方程变换为z域代数方程时, 可以自动将方程的初始条件引入, 因而在解决增量线性系统问题时特别有用。

例. 计算下面因果系统的响应 $y[n]$:

$$y[n] + 3y[n-1] = x[n], \quad y[-1] = 1, \quad x[n] = u[n].$$

解: 方程两边做单边Z变换, 有:

$$Y(z) + 3z^{-1}Y(z) + 3y[-1] = X(z)$$

10.9 单边Z变换

$$y(z) + 3z^{-1}y(z) + 3y[-1] = \chi(z), \quad y[-1] = 1, \quad x[n] = u[n].$$

$$y(z) = \underbrace{\frac{\chi(z)}{1+3z^{-1}}}_{\text{零状态响应}} + \underbrace{\frac{-3y[-1]}{1+3z^{-1}}}_{\text{零输入响应}} = \underbrace{\frac{1}{1+3z^{-1}} \cdot \frac{1}{1-z^{-1}}}_{\text{零状态响应}} + \underbrace{\frac{-3}{1+3z^{-1}}}_{\text{零输入响应}}$$

$$= \underbrace{\frac{1/4}{1-z^{-1}}}_{\text{强迫响应}} - \underbrace{\frac{9/4}{1+3z^{-1}}}_{\text{自然响应}}$$

零状态响应、零输入响应与强迫响应、自然响应之间有何关系?



$$\therefore y[n] = \underbrace{\left[\frac{1}{4}\right]}_{\text{强迫响应}} - \underbrace{\frac{9}{4}(-3)^n}_{\text{自然响应}} u[n] = \frac{1}{4} [1 - (-3)^{n+2}] u[n]$$

$$n \geq 0$$

强迫响应

自然响应

本章小结

1. 讨论了对离散时间信号和系统进行z变换分析的方法，主要内容与第九章相对应，如：收敛域、零极点图、系统函数、方框图、单边变换，...
2. 与拉普拉斯变换的情况对照，可以发现s平面与z平面之间存在着一种映射关系： $z \leftrightarrow e^{sT}$ 。

实际上，对连续时间信号 $x_c(t)$ 采样，可以得到：

$$x_p(t) = \sum_{n=-\infty}^{\infty} x_c(nT)\delta(t - nT)$$

本章小结

$$x_p(t) = \sum_{n=-\infty}^{\infty} x_c(nT)\delta(t - nT)$$

$x_p(t)$ 的拉普拉斯变换为：

$$X_p(s) = \sum_{n=-\infty}^{\infty} x_c(nT)e^{-snT}$$

而采样序列 $x[n] = x_c(nT)$ 的 z 变换为：

$$X(z) = \sum_{n=-\infty}^{\infty} x_c(nT)z^{-n}$$

比较 $X(z)$ 与 $X_p(s)$ ，可以发现 $z \leftrightarrow e^{sT}$ 。

离散时间信号与系统的复频域分析——z变换

信号分解	$x[n] = \frac{1}{2\pi j} \oint \frac{X(z)}{z} z^n dz$ $X(z) = \sum_{n=-\infty}^{\infty} x[n] z^{-n} \quad (\text{双边})$ $X(z) = \sum_{n=0}^{\infty} x[n] z^{-n} \quad (\text{单边})$
系统描述	1) $H(z)$ 2) 零极点图 3) 方框图 4) 差分方程
系统分析	(双边) z变换: $Y(z) = X(z)H(z)$
	单边z变换: 增量线性系统